

Arrangement of axial turbines blades

Patent number: EP0937862
Publication date: 1999-08-25
Inventor: SCHULTE VOLKER DR (DE)
Applicant: BMW ROLLS ROYCE GMBH (DE)
Classification:
- International: F01D5/14
- european: F01D5/14B
Application number: EP19990103028 19990218
Priority number(s): DE19991007179 19990220

Also published as:

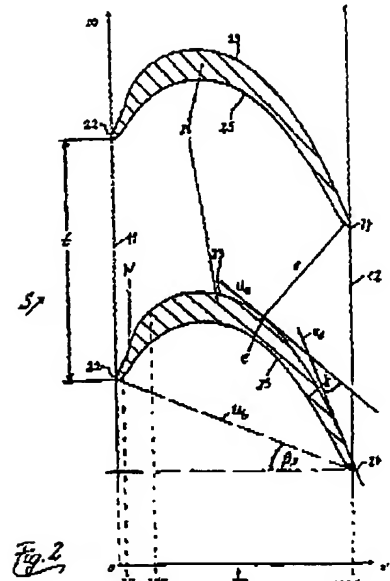
EP0937862 (A3)
EP0937862 (B1)

Cited documents:

US5354178
DE4344189

Abstract of EP0937862

The axial turbine (1) has a rotor blade row (3) and a stator blade row (2) with blades (4,5) in a ring-shaped flow channel (7). One of two conditions (A,B) is valid, using the following definitions. X=axial coordinate, R=radial coordinate of a blade point; HA=rear blade corner point seen in flow direction (S) and outer point seen in radial direction; HI=front corner point in flow direction and inner corner point in radial direction; VA=front corner point in flow direction and outer corner point in radial direction; VI=front corner point in flow direction and inner point in radial direction.
 $C_{ax} = \sqrt{\frac{(X(HI)-X(VI))^2 + (R(HI)-R(VI))^2}{2}} + \sqrt{\frac{(X(HA)-X(VA))^2 + (R(HA)-R(VA))^2}{2}}$
 $r = \frac{(R(VA)+R(VI)+R(HA)+R(HI))}{4}$
and Noff is the number of blades of a row. A quasi flow-face $\gamma = (2 \pi r) / (Noff \cdot C_{ax})$, which represents the 3 D-division parameter of a blade row. A quasi flow-face (QS) of a blade row is a rotary-symmetrical surface, which is defined by a random rotary-symmetrical section through the row, with the condition, that this section extends through the same height (hsv) of front and rear blade edges (11,12). $hsv = R(VA) - R(VI)$ and $hsh = R(HA) - R(HI)$. t=distance between two neighboring blade profile sections in circumferential turbine direction (ψ); axial chord length b=length between front and rear blade edges along an axial section of the quasi-flow surface; (β)=grading angle of blade rows.
Condition A = $\beta \leq 30$ degrees for a quasi-flow surface below which 55% of the blade height (hsv,hsh) is larger than 1.0.
Condition B = $\beta \leq 30$ degrees for a quasi-flow surface below which 55% of the blade height (hsv,hsh) the quotient t/b is larger than 1.0.



Data supplied from the esp@cenet database - Worldwide

BEST AVAILABLE COPY

(19)



Europäisches Patentamt

European Patent Office

Office européen des brevets



(11)

EP 0 937 862 A2

(12)

EUROPÄISCHE PATENTANMELDUNG

(43) Veröffentlichungstag:
25.08.1999 Patentblatt 1999/34(51) Int. Cl.⁶: F01D 5/14

(21) Anmeldenummer: 99103028.9

(22) Anmeldetag: 16.02.1999

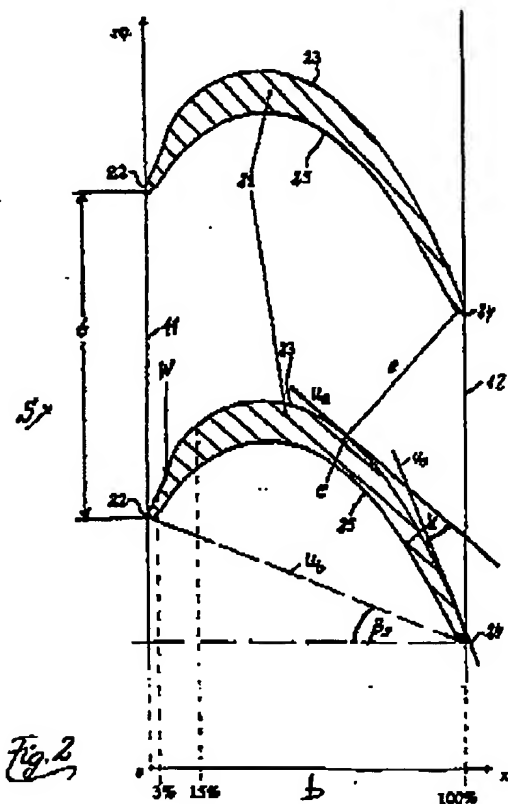
(84) Benannte Vertragsstaaten:
AT BE CH CY DE DK ES FI FR GB GR IE IT LI LU
MC NL PT SE
Benannte Erstattungsstaaten:
AL LT LV MK RO SI(72) Erfinder: Schulte, Volker Dr.
82216 Maisach (DE)(74) Vertreter:
Schmidt, Günter, Dipl.-Ing. et al
Bayerische Motoren Werke AG
Patentabteilung AJ-3
80788 München (DE)

(30) Priorität: 20.02.1998 DE 19807179

(71) Anmelder: BMW Rolls-Royce GmbH
61402 Oberursel (DE)

(54) Axialturbinenschaufelform

(57) Die Erfindung betrifft eine Axialturbine mit zumindest je einem Rotor-Schaufelgitter und einem Stator-Schaufelgitter von in einem ringförmigen Strömungskanal in Turbinen-Umfangsrichtung betrachtet in Reihe angeordneten Turbinen-Schaufeln, wobei unter Zugrundelegung einiger Definitionen für die Schaufelgitter zumindest eine von zwei genannten Bedingungen gilt, mit Hilfe derer letztendlich unter Verwendung höherer Schaufel-Belastungsparameter sowie einem geänderten Verlauf der Druckverteilung über der Schaufel die Anzahl der Schaufeln je Schaufelkranz bzw. Schaufelgitter gegenüber der bisher üblichen Anzahl erheblich reduziert werden kann. Letzteres wirkt sich hinsichtlich des Gewichtes sowie der Herstellkosten einer Axialturbine äußerst vorteilhaft aus.



937 862 A2

EP 0 937 862 A2

Beschreibung

[0001] Die Erfindung betrifft eine Axialturbine mit zumindest je einem Rotor-Schaufelgitter und einem Stator-Schaufelgitter von in einem ringförmigen Strömungskanal in Turbinen-Umfangsrichtung betrachtet in Reihe angeordneten Turbinen-Schaufeln. Zum technischen Umfeld wird beispielsweise auf die DE 43 44 189 C1 verwiesen.

[0002] Eine erfindungsgemäße Axialturbine kann insbesondere bei einer Fluggasturbine zum Einsatz kommen, daneben aber auch generell bei stationären Gas- und Dampfturbinen. Bezüglich der Ausbildung der Turbinen-Schaufeln betrifft die vorliegende Erfindung in erster Linie dünne Vollschaufeln (sowohl am Rotor als auch am Stator) für ungekühlte Niederdruckturbinen in Mehr-Wellen-Triebwerken. Möglich ist jedoch auch eine Anwendung auf andere Typen von Axialturbinen, so zum Beispiel gekühlte Hochdruckturbinen mit Hohl Schaufeln.

[0003] Die Anmeldung betrifft insbesondere Axialturbinen mit einem Reaktionsgrad von 50 % oder geringer. Daher wird im weiteren auch - um eine eindaufige Zuordnung der definierten Belastungsparameter mit der aerodynamischen Belastung der Schaufelgitter zu erreichen - auf den dem Fachmann bekannten Staffelungswinkel Bezug genommen. Der Reaktionsgrad einer Axialturbine, welcher ein Maß für die Aufteilung des Druckabbaus auf Rotor- und Statorschaufeln ist, korreliert in erster Näherung mit dem Staffelungswinkel der Schaufelprofile. Turbinen mit einem Reaktionsgrad von um die 50 % haben Staffelungswinkel von 30° oder geringer im Mittelschnitt, d.h. bei unter 55 % der Gesamtschaufelhöhe. Der dem Fachmann bekannte Reaktionsgrad, der zur Auslegung von Gasturbinen als mittlerer Reaktionsgrad von 0,5 zugrunde gelegt wird, folgt dem Verhältnis Δp_r zu Δp_0 , wobei Δp_r der Druckabbau, d.h. die Expansion im Rotor, und Δp_0 der gesamte Abbau des Totaldruckes in der Turbinenstufe ist. Demnach ist der Reaktionsgrad ein Maß für die Aufteilung des Druckabbaus auf Rotor- und Statorschaufeln.

[0004] Unter anderem im bevorzugten Anwendungsfall einer Niederdruckturbine ist die Anzahl der Schaufeln im Schaufelgitter, d.h. pro Schaufelreihe in erster Linie durch aerodynamische Kriterien wie bspw. die Zweifel-Zahl oder andere aerodynamische Belastungsparameter bestimmt. Unter Berücksichtigung derartiger Belastungsparameter wird dabei angestrebt, so wenig Schaufeln als möglich in einem Schaufelgitter anzuordnen, da sich die Schaufelzahl direkt auf das Modulgewicht sowie auf die Herstellkosten auswirkt. Hersteller von Flugtriebwerken benutzen in der Regel ein aerodynamisches Belastungskriterium, welches das Minimum der Anzahl der Schaufeln je Rotor und Stator-Schaufelkranz bzw. -Schaufelgitter vorgibt.

[0005] Die bereits erwähnte Zweifel-Zahl, die ein Maß für die aerodynamische Belastung einer einzelnen Turbinen-Schaufel ist, ist eine dimensionslose Kenngröße zur Charakterisierung der in Umfangsrichtung auf die Schaufel wirkenden Kraft. Dabei ist die Zweifel-Zahl ursprünglich für eine zweidimensionale Strömung definiert, bspw. im ebenen Gittertest. Hier wird die auf den zweidimensionalen Schaufelschnitt wirkende Kraft in Umfangsrichtung auf eine Referenzkraft bezogen, welche durch eine gedachte ideale Schaufeldruckverteilung beschrieben ist. Die Referenzverteilung weist auf der Druckseite der Schaufel einen konstanten Druck, der gleich dem Totaldruck am Eintritt ist, und auf der Saugseite der Schaufel einen konstanten Druck, der gleich dem statischen Druck am Austritt ist, auf.

[0006] Eine vergleichbare Kenngröße wird auch zur Auslegung realer dreidimensionaler Schaufeln verwendet. Dort wird die Auslegung in der Regel auf quasi zweidimensionalen Stromflächen durchgeführt. Solche variieren in der Dicke und im Radius vom Schaufeleintritt zum Schaufelaustritt, was die Definition eines Belastungsparameters etwas schwieriger macht. Das Prinzip wird jedoch in Anlehnung an die zweidimensionale Strömung auf die Auslegung mehrerer zweidimensionaler Schnitte übertragen, um dann anschließend die reale, dreidimensionale Schaufel aus den im wesentlichen zweidimensional ausgelegten Profilschnitten zusammensetzen zu können.

[0007] Je größer die Zweifel-Zahl bzw. allgemein der Belastungsparameter ist, desto höher ist die aerodynamische Belastung der Schaufel. Große Zweifel-Zahlen bedeuten, daß auf der Saugseite des Schaufelprofils in der Regel Gebiete verzögerter Strömung in Kauf genommen werden müssen, obwohl die Strömung im Turbinengitter in den meisten Fällen im Mittel beschleunigt wird. Eine verzögerte Strömung birgt aber stets die Gefahr der Grenzschichtablösung. Dies wird meistens als unerwünscht betrachtet, weil dadurch die Strömungsverluste ansteigen. Jedoch auch ohne Ablöseerscheinungen hat eine Verzögerung der Strömung entlang der Saugseite des Schaufelprofils zur Folge, daß die Grenzschichtdicke anwächst und dadurch die Strömungsverluste steigen.

[0008] Andererseits kann an Schaufelgittern, deren Schaufeln auf eine relativ große Zweifel-Zahl hin ausgelegt werden, unter gegebenen aerodynamischen Randbedingungen (wie z.B. Gesamtmassestrom, Mach-Zahl, Reaktionsgrad, Arbeit oder Umlenkung) die Anzahl der Schaufeln verringert werden, was aus einem vergrößertem Teilungsverhältnis resultiert.

[0009] In der Praxis bedeutet dies nun, daß die erhöhten Verluste und Einbußen im Wirkungsgrad, die durch stärkere Verzögerung auf den Schaufelprofil-Saugseiten entstehen, gegen erhöhte Schaufelzahlen und die damit verbundenen erhöhten Herstellkosten sowie das höhere Gewicht abgewogen werden müssen. Insbesondere in seriengefertigten Fluggasturbinen spielen Kosten und Gewicht eine relativ große Rolle, so daß es sinnvoll sein kann, die Zweifel-Zahl über ein rein aerodynamisch optimales Maß hinaus zu erhöhen.

[0010] Im bekannten Stand der Technik wird die aerodynamische Schaufelbelastung im wesentlichen auf relativ niedrige Zweifel-Zahlen limitiert, um die aerodynamischen Verluste nicht zu stark ansteigen zu lassen. Die zulässige Zwei-

EP D 937 862 A2

fel-Zahl (bzw. die zulässige Strömungs-Verzögerung auf der Saugseite des Schaufelprofils) ist dabei um so niedriger, je niedriger die Reynolds-Zahl ist. Bei niedrigen Reynolds-Zahlen ist die Gefahr von sich nicht wiederanlegenden Ablösblassen besonders groß. Auch wächst die Grenzschicht schneller an.

[0011] Neuere Ergebnisse zeigen jedoch, daß die Strömungsverluste und somit der Wirkungsgrad einer Turbine sehr stark vom Zustand der Grenzschicht abhängt. Im besonderen hat sich gezeigt, daß die instationäre Wechselwirkung mit stromaufliegenden Schaufelreihen eine große Rolle spielt. Die saugseitige Grenzschicht wird dabei periodisch durch die Nachlaufströmung der stromauf liegenden Schaufelreihe zum Umschlag gebracht und es bildet sich eine sehr komplexe aber vorteilhafte Grenzschichtentwicklung aus. Diese ist geprägt von abwechselnd laminaren, transitionalen, turbulenten und sog. laminar beruhigten Zonen. Die laminar beruhigten Zonen treten nur bei instationären Grenzschichten auf, sind jedoch für deren Verlustverhalten vorteilhaft.

[0012] Dies gilt nun insbesondere für Niederdruckturbinen in Fluggasturbinen, da dort die Reynolds-Zahlen sehr niedrig sind und die überwiegend laminaren Grenzschichten zur Ablösung neigen. Während konventionelle Zweifel-Zahl Kriterien insbesondere bei niedrigen Reynolds-Zahlen oft von Untersuchungen in idealisierten Versuchen (z.B. einem ebenen Gittertest mit stationär homogener Zustromung) abgeleitet wurden, können durch die Erkenntnis, daß die instationäre Strömung eine nicht zu vernachlässigende Rolle spielt, neue Zweifel-Zahl-Kriterien entwickelt werden, die vor allem bei sehr niedrigen Reynolds-Zahlen über den bisherigen Kriterien liegen, ohne eine Erhöhung der Verluste zu bewirken.

[0013] Neben der Zweifel-Zahl ist der Verlauf der Druckverteilung (der sog. lift-style") insbesondere auf der Saugseite eines Schaufelprofils ausschlaggebend für die Höhe der aerodynamischen Verluste. Durch eine vorteilhafte Wahl der Druckverteilung in Verbindung mit einer hohen Zweifel-Zahl läßt sich damit gegenüber dem üblichen Stand der Technik die Anzahl der Schaufel pro Schaufelreihe reduzieren, ohne gleichzeitig die Strömungsverluste zu erhöhen und damit den Wirkungsgrad abzusenken.

[0014] Die Zweifel-Zahl als solche, wie auch der Verlauf der Druckverteilung (lift-style") sind aerodynamische Kriterien, die sich nicht problemlos in konstruktive Merkmale einer Turbinenschaufel übertragen lassen. Je nach aerodynamischen Randbedingungen (z.B. Massenstrom, Arbeitsumsetzung pro Stufe, Mach-Zahlen, Reaktionsgrad, Umlenkung etc.) wird die Anwendung der gleichen Zweifel-Zahl und des gleichen lift-styles" in der Auslegung dennoch zu unterschiedlichen Schaufelprofilformen führen.

[0015] Die erwähnten neuen Kriterien für die Zweifel-Zahl und den Verlauf der Druckverteilung (lift-style"), die der vorliegenden Erfindung zu Grunde liegen, werden im Rahmen dieser Erfindung in konstruktive Merkmale von Turbinen-Schaufelgittern und Turbinen-Schaufelprofilen bzw. Profilschnitten übersetzt.

[0016] Hierbei handelt es sich demzufolge um die Aufgabe der vorliegenden Erfindung, nämlich um die Angabe reproduzierbarer Kriterien, mit Hilfe derer letztendlich unter Verwendung höherer Zweifel-Zahlen sowie einem geänderten Verlauf der Druckverteilung die Anzahl der Schaufeln je Schaufelkranz bzw. Schaufelgitter gegenüber der bisher üblichen Anzahl erheblich reduziert werden kann. Letzteres wirkt sich - wie bereits erwähnt - hinsichtlich des Gewichtes sowie der Herstellkosten einer Axialturbine äußerst vorteilhaft aus.

[0017] Zur Lösung dieser Aufgabe sind die im kennzeichnenden Teil des Anspruchs 1 angegebenen Merkmale vorgesehen, wobei zwei Alternativmaßnahmen vorgeschlagen sind. Vorteilhafte Weiterbildungen sind Inhalt der Unteransprüche.

[0018] Bevor diese erfindungsgemäßen Merkmale anhand der beigefügten Prinzipskizzen näher erläutert werden, sei zunächst noch darauf hingewiesen, daß die Zweifel-Zahl, welche vorerst nur in einer zweidimensionalen Strömung definiert ist, näherungsweise, zumindest bei konstantem Reaktionsgrad, in das dem Fachmann bekannte Teilungsverhältnis übertragen werden kann. Ein erhöhtes Teilungsverhältnis entspricht somit einer erhöhten Zweifel-Zahl.

Zwar gilt dies streng genommen nur unter der Voraussetzung, daß die Machzahlen und die Umlenkung bzw. der Reaktionsgrad konstant bleiben. Da jedoch in der Praxis Niederdruckturbinen in einem relativ kleinen vorteilhaften Bereich von Stufenbelastungen (Druckverhältnis und kinematische Belastung) sowie Reaktionsgraden ausgelegt werden, charakterisiert das Teilungsverhältnis als konstruktives Merkmal das aerodynamische Kriterium der Zweifel-Zahl.

[0019] Für die Betrachtung der dreidimensionalen Strömungsverhältnisse in Turbinenschaufelpassagen ist bereits die Definition eines aerodynamischen Belastungsparameters, der ähnlich der Zweifel-Zahl in zweidimensionaler Strömung sein soll, nicht einfach. Jedoch wird auch hierbei in Analogie zu der Vorgehensweise bei zweidimensionaler Strömung ein Teilungsparameter definiert, der ein Maß für die aerodynamische Belastung der Schaufel darstellt. Dieser unter Berücksichtigung dreidimensionaler Strömungsverhältnisse definierte Teilungsparameter wird im folgenden als 3D-Teilungsparameter Y bezeichnet und charakterisiert (analog dem bekannten zweidimensionalen Teilungsparameter) die aerodynamische Belastung einer Schaufel in einem Schaufelgitter.

[0020] Mit der vorliegenden Erfindung werden bevorzugte Werte für diesen 3D-Teilungsparameter angegeben. Eine weitere charakteristische Größe in einem Turbinen-Schaufelgitter ist das Teilungsverhältnis in seiner üblichen Definition, für welches ebenfalls mit der vorliegenden Erfindung bevorzugte Werte angegeben werden. Diese beiden charakteristischen Größen sollen dabei für Turbinen- Reaktionsgrade in der Größenordnung von 50% oder geringer gelten. Dies entspricht einem Staffelungswinkel von kleiner 30° unterhalb einer Schaufelhöhe von 55 % der Gesamt-Schaufel-

EP 0 937 662 A2

höhe und deckt den Hauptanwendungsbereich moderner Niederdruckturbinen in Flug Gasturbinen ab.

[0021] Näher erläutert wird nun die Erfindung anhand der beigefügten Prinzipskizzen, wobei

Fig.1 einen Längs-Halbschnitt einer Axialturbinen und

Fig.2 in üblicher Darstellung die Abwicklung eines Schaufelgitters (bzw. Schaufelkranzes) zeigt.

[0022] Bei der in Fig.1 gezeigten Darstellung einer Axialturbinen 1 in einem Radial-Axial-Schnitt ist das übliche Zylinderkoordinatensystem verwendet, wobei die Axialrichtung mit der Axial-(oder auch Längs-) Koordinate x und die Radialrichtung mit der Radial-Koordinate r bezeichnet ist. Die dritte Koordinate ist die Umfangskoordinate φ . In der Darstellung nach Fig.1 ist ein beliebiger Punkt somit durch seine Ortskoordinaten X (dies ist die Axialkoordinate) und R (dies ist die Radialkoordinate) beschreibbar.

[0023] Wie üblich weist auch die gezeigte Axialturbinen 1 abwechselnd angeordnete Leit-Schaufelgitter 2 und Lauf-Schaufelgitter 3 auf. Jeweils ein Leit-Schaufelgitter 2 bzw. Stator-Schaufelgitter 2 und ein Lauf-Schaufelgitter 3 bzw. Rotor-Schaufelgitter 3 bilden eine Stufe. Fig. 1 zeigt somit eine zweistufige Axialturbinen 1.

[0024] Jedes Stator-Schaufelgitter 2 besteht aus gleichartigen Stator-Schaufeln 4, die in Turbinen-Umfangsrichtung φ hintereinander bzw. in Reihe angeordnet sind. In gleicher Weise besteht jedes Rotor-Schaufelgitter 3 aus einer Mehrzahl von gleichartigen Rotor-Schaufeln 5. Die Schaufelblätter bzw. Schaufeln 4, 5 der Schaufelgitter 2, 3 erstrecken sich dabei in Radialrichtung r in einer zur Maschinenachse 14 konzentrisch verlaufenden ringförmigen Strömungskanal 7, in welchem gemäß Strömungsrichtung 8 ein Arbeitsfluid durch die Schaufelgitter 2, 3 hindurchgeführt wird.

[0025] Dieser Strömungskanal 7 wird in radialer Richtung r innenseitig durch den Stator in Form einer Statorwand 6 und ferner durch die nicht näher bezeichneten Plattformen am Fuß der Rotor-Schaufeln 5 begrenzt, wobei diese genannten Elemente die sog. innere Kanalbegrenzung 8 bilden. In radialer Richtung r außenseitig wird der Strömungskanal 7 durch eine Gehäusewand 13 begrenzt, wobei jedoch im folgenden als äußere Kanalbegrenzung 9 im Bereich der Rotor-Schaufeln 5 entweder deren Schaufelspitzen oder ein (hier nicht gezeigtes) Deckband des Rotor-Schaufelgitters 3 bezeichnet wird. Für die Stator-Schaufeln 4 stellt somit die Innenseite der Gehäusewand 13 die äußere Kanalbegrenzung 9 dar, für die Rotor-Schaufeln 5 hingegen ist die äußere Kanalbegrenzung 9 gegenüber der Innenseite der Gehäusewand 13 um das Spaltmaß des selbstverständlich erforderlichen Spitzenspaltes zwischen den Rotor-Schaufeln 5 und der Gehäusewand 13 radial nach innen gezogen.

[0026] Die innere Kanalbegrenzung 8 sowie die äußere Kanalbegrenzung 9 verlaufen dabei jeweils konzentrisch zur Maschinenachse 14 und weisen bezüglich der Strömungsrichtung 8 des im Strömungskanal 7 durch die Schaufelgitter 2, 3 hindurchgeführten Arbeitsfluids einen divergenten Verlauf auf, so daß sich der Strömungskanal 7 in Strömungsrichtung 8 erweitert.

[0027] Bezüglich der Rotor-Schaufelgitter 3 sei noch erwähnt, daß diese hier in Scheibenbauweise ausgeführt sind, d.h. die Rotor-Schaufeln 5 sind gitterförmig an einer um die Maschinenachse 14 rotierenden Laufscheibe 10 angebracht.

[0028] Die Definition des o.g. 3D-Teilungsparameters erfordert zunächst die Definition von Schaufel-Eckpunkten sowie von einer Quasi-Stromfläche QS bezüglich eines Schaufelgitters 2 bzw. 3.

[0029] Die sog. Schaufel-Eckpunkte VA , HA , VI , HI sind dabei in Fig.1 exemplarisch für das in Strömungsrichtung S betrachtete zweite Rotor-Schaufelgitter 3 dargestellt. In der gezeigten Ansicht ergeben sich die vier Schaufel-Eckpunkte VA , HA , VI , HI jeweils als Schnittpunkte der Schaufelvorderkante 11 bzw. der Schaufelhinterkante 12 mit der inneren Kanalbegrenzung 8 bzw. der äußeren Kanalbegrenzung 9:

[0030] Der Schaufel-Eckpunkt VA ist somit der Schnittpunkt zwischen der Schaufelvorderkante 11 mit der äußeren Kanalbegrenzung 9 und liegt in Strömungsrichtung S betrachtet vorne sowie in Radialrichtung r betrachtet außen. In analoger Weise handelt es sich bei HA um den in Strömungsrichtung S betrachtet hinteren und in Radialrichtung r betrachtet äußeren Schaufel-Eckpunkt, der durch die Verschneidung der äußeren Kanalbegrenzung 9 mit der Schaufelhinterkante 12 definiert ist.

Der Schaufel-Eckpunkt VI ergibt sich aus der Verschneidung der Schaufelvorderkante 11 mit der inneren Kanalbegrenzung 8, d.h. VI ist der in Strömungsrichtung S betrachtet vordere und in Radialrichtung r betrachtet innere Schaufel-Eckpunkt, während HI schließlich der in Strömungsrichtung S betrachtet hintere und in Radialrichtung r betrachtet innere Schaufel-Eckpunkt ist, der sich auch durch den Schnittpunkt der Schaufelhinterkante 12 mit der inneren Kanalbegrenzung 8 beschreiben läßt.

[0031] Als eine Quasi-Stromfläche QS eines Schaufelgitters 2 oder 3 wird hier nun eine rotationssymmetrische Fläche definiert, welche sich durch einen beliebigen rotationssymmetrischen Schnitt in Form einer konzentrischen Fläche durch die zugehörige Reihe von Schaufeln 4 oder 5 ergibt, mit der Bedingung, daß dieser Schnitt durch die gleiche prozentuale Höhe der Schaufelvorderkante 11 und der Schaufelhinterkante 12 verläuft. Dabei ist die Höhe h_{sv} der Schaufelvorderkante 11 - in Fig.1 dargestellt am Beispiel des zweiten Rotor-Schaufelgitters 3 - definiert durch:

$$h_{sv} = R(VA) - R(VI)$$

EP 0 937 862 A2

Analog ist die Höhe h_{sh} der Schaufelhinterkante 12 definiert durch:

$$h_{sh} = R(HA) - R(HI)$$

5

[0032] Fig. 1 stellt exemplarisch einen solchen Schnitt QS durch das zweite Rotorgitter 3 dar. Aber auch der Schnitt QS' gilt als Quasi-Stromfläche im Sinne obiger Definition, da er die gleichen Schnittpunkte VQ und HQ mit der Schaufelvorderkante 11 bzw. der Schaufelhinterkante 12 aufweist und daher auch die folgende Bedingung bezüglich der prozentualen Schaufelhöhen h_{sv} bzw. h_{sh} erfüllt.

10

[0033] Für die beiden Schnitte bzw. Quasi-Stromflächen QS und QS' gilt nämlich:

$$\frac{\text{Radius}(VQ) - \text{Radius}(VI)}{\text{Radius}(VA) - \text{Radius}(VI)} = \frac{\text{Radius}(HQ) - \text{Radius}(HI)}{\text{Radius}(HA) - \text{Radius}(HI)}$$

15

wobei $\text{Radius}(VQ)$ und $\text{Radius}(HQ)$ die Radien der mit VQ bzw. HQ gekennzeichneten Schnittpunkte der Quasi-Stromfläche QS mit der Schaufelvorderkante 11 bzw. der Schaufelhinterkante 12 des zweiten Rotor-Schaufelgitters 3 bezeichnen.

20

[0034] Auf diese Definitionen aufbauend wird nun ein 3D-Teilungsparameter Y eines Schaufelgitters 2, 3 wie folgt definiert:

$$Y = \frac{2\pi\bar{r}}{N_{off}\bar{C}_{ex}}$$

25

[0035] mit

$$\bar{r} = \frac{R(VA) + R(VI) + R(HA) + R(HI)}{4},$$

30

N_{off} ist die Anzahl der Schaufeln 4, 5 des Schaufelgitters 2, 3, und

35

$$\bar{C}_{ex} = \frac{\sqrt{(X(HA) - X(VA))^2 + (R(HA) - R(VA))^2} + \sqrt{(X(HI) - X(VI))^2 + (R(HI) - R(VI))^2}}{2}$$

[0036] Wird nun für ein Schaufelgitter 2 bzw. 3 eine derartige Zahl von Schaufeln N_{off} gewählt, daß sich mit den angegebenen Definitionen der Wert des beschriebenen 3D-Teilungsparameters zu größer als 1,0 (eins) ergibt, so erhält man ein Schaufelgitter 2, 3, bei welchem unter Verwendung höherer Zweifel-Zahlen sowie einem geänderten Verlauf der Druckverteilung die Anzahl N_{off} der Schaufeln 4, 5 je Schaufelkranz bzw. je Schaufelgitter gegenüber der bisher üblichen Anzahl erheblich reduziert ist. Dieses genannte Kriterium $Y > 1,0$ gilt für $\beta_s < 30^\circ$ für alle Quasi-Stromflächen QS unterhalb von 55 % Schaufelhöhe h_{sv} bzw. h_{sh} und stellt die im kennzeichnenden Teil des Patentanspruches angegebene erste Bedingung (A) dar.

[0037] Aufgefunden wurde jedoch noch ein weiteres Kriterium bzw. eine zweite Bedingung (B), welche zu einem vergleichbaren Ergebnis führt. In diese Bedingung (B) geht die Geometrie der Schaufeln 4, 5 bzw. deren Schaufelprofilschnitt 21 mit ein, und zwar u.a. die axiale Sehnenlänge b . Zur näheren Erläuterung hierfür wird auf Fig. 2 verwiesen, worin wesentliche Größen für die zweidimensionale Auslegung von Schaufel-Profilschnitten 21 in Quasi-Stromflächen QS angegeben sind, die im folgenden näher definiert werden.

[0038] Fig. 2 zeigt zwei Schaufelprofilschnitte 21 aus einem Rotor-Schaufelgitter 3 oder einem Stator-Schaufelgitter 2, wobei alle Profilschnitte 21 eines Schaufelgitters 2, 3 identisch sind und um die im allgemeinen homogene Teilung t in Umfangsrichtung φ gegeneinander versetzt sind. Dabei ist hier ein Koordinatensystem gewählt, das eine in Umfangsrichtung φ verlaufende Umfangskoordinate $r\varphi$ aufweist sowie eine entlang der Quasi-Stromfläche QS in Axialrichtung x verlaufende Koordinate x' , auf der die prozentuale axiale Sehnenlänge b aufgetragen ist.

[0039] Wie üblich besteht ein Schaufelprofilschnitt 21 im wesentlichen aus einem Vorderkanten-Teilkreis 22 (der auch Teil einer Ellipse sein kann), einer überwiegend konvexen Saugseite 23, einem Hinterkanten-Teilkreis 24 (der ebenfalls Teil einer Ellipse sein kann) und einer überwiegend konkaven Druckseite 25.

In diesem Zusammenhang zeigt Fig. 2 weiterhin eine sog. Bi-Tangente u_p . Hierbei handelt es sich um eine gleichzeitige

EP 0 937 862 A2

Tangente an den Vorderkanten-Teilkreis 22 und den Hinterkantenteilkreis 24, welche mit der Parallelen zu der axialen Richtung (Sehnenlänge b) den bereits genannten Staffeltungswinkel β_s einschließt.

[0040] Zwischen zwei einander benachbarten Schaufelprofilschnitten 21 befindet sich eine Engstelle e , die als die kleinste Entfernung von der Druckseite 25 des einen Schaufelprofilschnittes 21 zur Saugseite 23 des anderen Schaufelprofilschnittes 21 definiert ist. Diese kleinste Entfernung ergibt sich dabei aus der in der Schaufelgittertheorie bekannten Methode der kleinsten einbeschriebenen Kreise². In Turbinen-Schaufelgittern 2, 3 ist dabei üblicherweise (und somit auch hier) die Engstelle e die kleinste Entfernung vom Übergangspunkt der Druckseite 25 in den Hinterkanten-Teilkreis 24 des einen Schaufelprofilschnittes 21 zur Saugseite 23 des anderen Schaufelprofilschnittes 21.

[0041] Die Teilung t ist gemäß Fig.2 definiert als der Abstand zweier benachbarter Schaufelprofile 21 in Umfangsrichtung bzw. in Richtung der Umfangskoordinate in Zylinderkoordinaten $r\varphi$.

Die axiale Sehnenlänge b ist definiert als die Lauflänge von der Schaufelvorderkante 11 zur Schaufelhinterkante 12 entlang eines axialen Schnittes auf der Quasi-Stromfläche QS, was wie bereits erwähnt in Fig.2 auf der Koordinate x aufgetragen ist.

[0042] Werden nun für ein Schaufelgitter 2 bzw. 3 die Schaufelprofilschnitte 21 derart ausgebildet, daß für alle Quasi-Stromflächen QS unterhalb von 55% Schaufelhöhe h_{sv} bzw. h_{sh} der Quotient t/b größer als 1,0 (eins) ist, so erhält man ein Schaufelgitter 2, 3, bei welchem unter Verwendung höherer Zweifel-Zahlen sowie einem geänderten Verlauf der Druckverteilung die Anzahl N_{off} der Schaufeln 4, 5 je Schaufelkranz bzw. je Schaufelgitter 2, 3 gegenüber der bisher üblichen Anzahl erheblich reduziert ist. Dieses genannte Kriterium $t/b > 1,0$ gilt für $\beta_s < 30^\circ$ für alle Quasi-Stromflächen QS unterhalb von 55 % Schaufelhöhe h_{sv} bzw. h_{sh} und stellt die im kennzeichnenden Teil des Patentanspruchs angegebene Alternativ-Bedingung (B) dar.

[0043] Noch weiter gesteigert werden kann die erzielbare Wirkung sowie somit der Gesamt-Wirkungsgrad der Axialturbine 1 durch die im folgenden erläuterten Zusätzmaßnahmen hinsichtlich der Schaufelprofilschnitte 21, zu deren Erläuterung abermals auf Fig.2 verwiesen wird.

[0044] Wie üblich ist eine Profilablenkung γ des Schaufelprofilschnittes 21 stromab der Engstelle e definiert als der maximale Winkel γ zwischen einer Tangente u_s an die Saugseite 23 in der Position der Engstelle e und einer beliebigen Tangente u_p an das Profil auf der Saugseite 23 zwischen der Position der Engstelle e und dem Übergangspunkt der Saugseite 23 in den Hinterkanten-Teilkreis 24.

[0045] Wird nun für alle Quasi-Stromflächen QS unterhalb von 55% Schaufelhöhe h_{sv} bzw. h_{sh} stromab der Engstelle e zwischen einander benachbarten Schaufelprofilschnitten 21 die saugseitige Profilablenkung γ größer als 27° gewählt, so ergibt sich mit der gemäß den genannten Bedingungen (A) und/oder (B) erheblich reduzierten Schaufel-Anzahl N_{off} ein besonders hoher Wirkungsgrad der Axialturbine 1.

[0046] Gleiches gilt für einen derart gestalteten Schaufelprofilschnitt 21, bei welchem im Profilverlauf der Saugseite 23 zwischen 3% und 15% axialer Sehnenlänge b ein Wendepunkt W vorliegt (vgl. Fig.2), wobei 0% axiale Sehnenlänge b die Schaufelvorderkante 11 und 100% axiale Sehnenlänge b die Schaufelhinterkante 12 bezeichnet.

[0047] Nicht nur durch Berechnung, sondern auch in einem Versuch wurde an einer Axialturbine 1 mit den beschriebenen Maßnahmen eine nahezu 20%ige Reduzierung der Schaufel-Anzahl N_{off} gegenüber einer Standard-Auslegung erzielt. Eine entsprechende Reduzierung des Modulgewichts und der Herstellkosten folgt daraus. Weiterhin ergab sich eine Wirkungsgradverbesserung um 0,3%. Bei voller Ausschöpfung des Potentials der Erfindung (z.B. durch Einsatz einer komplett neuartigen Beschauelung) ist eine fast 40%ige Reduzierung der Schaufelzahlen und damit des Gewichts und der Herstellkosten möglich, wobei der Wirkungsgrad der Axialturbine 1 konstant gehalten werden kann.

Bezugszeichenliste:

[0048]

- 1 Axialturbine
- 2 Leit- oder Stator-Schaufelgitter
- 3 Lauf- oder Rotor-Schaufelgitter
- 4 Stator-Schaufel(n)
- 5 Rotor-Schaufel(n)
- 6 Statorwand (innen)
- 7 Strömungskanal
- 8 radial innere Kanalbegrenzung (von 7)
- 9 radial äußere Kanalbegrenzung (von 7)
- 10 Laufscheibe
- 11 Schaufelvorderkante
- 12 Schaufelhinterkante
- 13 Gehäusewand (außen)

EP 0 937 862 A2

| | |
|-----------|---|
| 14 | Maschinenachse |
| S | Strömungsrichtung |
| x | Axialrichtung Axialkoordinate eines Punktes: X |
| r | Radialrichtung Radialkoordinate eines Punktes: R |
| 5 | φ Umfangsrichtung |
| QS | Quasi-Stromfläche |
| QS' | Quasi-Stromfläche |
| h_{av} | Höhe der Schaufelvorderkante 11 |
| h_{ah} | Höhe der Schaufelhinterkante 12 |
| 10 | 21 Schaufelprofilschnitt |
| 22 | Vorderkanten-Teilkreis (von 21) |
| 23 | Saugseite (von 21) |
| 24 | Hinterkanten-Teilkreis (von 21) |
| 25 | Druckseite (von 21) |
| 18 | t Teilung |
| b | axiale Sehnenlänge |
| e | Engstelle (zwischen benachbarten Schaufelprofilschnitten 21) |
| u_b | Bi-Tangente an 22 und 24 |
| u_a | Tangente an die Saugseite 23 in der Position der Engstelle a |
| 20 | u_s Tangente an die Saugseite 23 des Schaufelprofilschnittes 21 |
| W | Wendepunkt |
| β_a | Staffelungswinkel |

Patentansprüche

1. Axialturbine (1) mit zumindest je einem Rotor-Schaufelgitter (3) und einem Stator-Schaufelgitter (2) von in einem ringförmigen Strömungskanal (7) in Turbinen-Umfangsrichtung (φ) betrachtet in Reihe angeordneten Turbinen-Schaufeln (4, 5),

dadurch gekennzeichnet, daß unter Zugrundelegung der zunächst folgenden Definitionen für die Schaufelgitter (2, 3) zumindest eine der beiden nachfolgend genannten Bedingungen (A), (B) gilt:

- X bezeichne die Axialkoordinate und R die Radialkoordinate eines Schaufel-Punktes,
- HA ist der in Strömungsrichtung (S) betrachtet hintere und in Radialrichtung (r) betrachtet äußere Schaufel-Eckpunkt,
- HI ist der in Strömungsrichtung (S) betrachtet hintere und in Radialrichtung (r) betrachtet innere Schaufel-Eckpunkt,
- VA ist der in Strömungsrichtung (S) betrachtet vordere und in Radialrichtung (r) betrachtet äußere Schaufel-Eckpunkt,
- VI ist der in Strömungsrichtung (S) betrachtet vordere und in Radialrichtung (r) betrachtet innere Schaufel-Eckpunkt,

$$\bar{C}_{ax} = \frac{\sqrt{(X(HA)-X(VA))^2 + (R(HA)-R(VA))^2} + \sqrt{(X(HI)-X(VI))^2 + (R(HI)-R(VI))^2}}{2}$$

$$\bar{r} = \frac{R(VA)+R(VI)+R(HA)+R(HI)}{4}$$

N_{off} ist die Anzahl der Schaufeln (4, 5) des Schaufelgitters (2, 3)

$$Y = \frac{2\pi\bar{r}}{N_{off}\bar{C}_{ax}}$$

ist der 3D-Teilungsparameter des Schaufelgitters (2,3)

eine Quasi-Stromfläche (QS) des Schaufel-Gitters (2, 3) ist eine rotationssymmetrische Fläche, welche sich durch einen beliebigen rotationssymmetrischen Schnitt durch das Schaufel-Gitter (2, 3) ergibt, mit der Bedingung, daß dieser Schnitt durch die gleiche prozentuale Höhe (h_{av}) der Schaufelvorderkante (11) und prozen-

EP 0 937 862 A2

tuale Höhe (h_{sh}) der Schaufelhinterkante (12) verläuft, wobei

- $h_{sv} = R(VA) - R(VI)$ und $h_{sh} = R(HA) - R(HI)$ ist;
- die Teilung t ist der Abstand zweier benachbarter Schaufelprofilschnitte (21) in Turbinen-Umfangsrichtung (ϕ),
- die axiale Sehnenlänge b ist die Lauflänge von der Schaufel vorderkante (11) zur Schaufelhinterkante (12) entlang eines axialen Schnittes auf der Quasi-Stromfläche (QS);
- β_s ist der Staffelungswinkel der Schaufelgitter (2, 3)

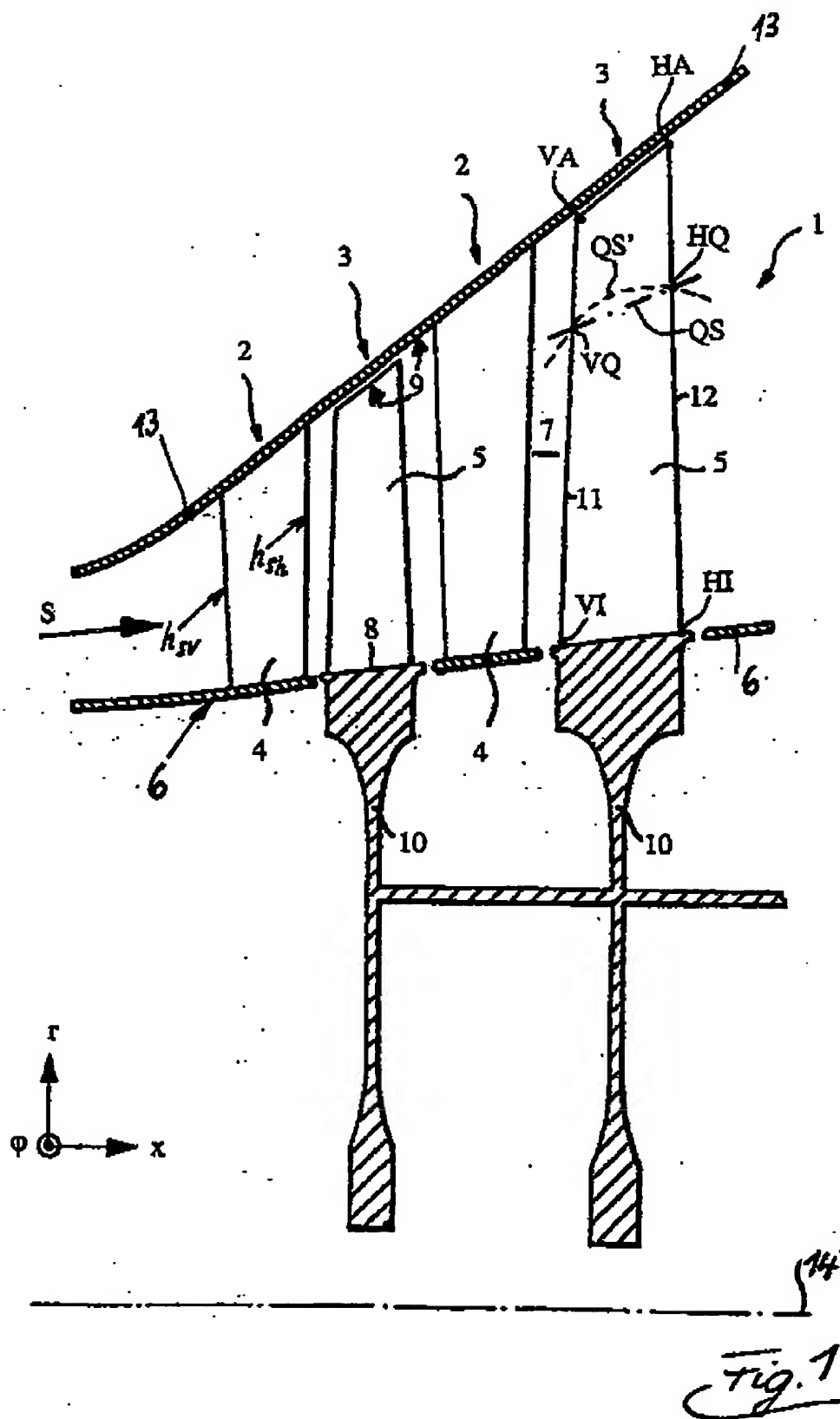
Bedingung (A): für $\beta_s < 30^\circ$ für alle Quasi-Stromflächen (QS) unterhalb von 55 % Schaufelhöhe (h_{sv} bzw. h_{sh}) ist γ größer als 1,0

Bedingung (B): für $\beta_s < 30^\circ$ für alle Quasi-Stromflächen (QS) unterhalb von 55% Schaufelhöhe (h_{sv} bzw. h_{sh}) ist der Quotient t/b größer als 1,0

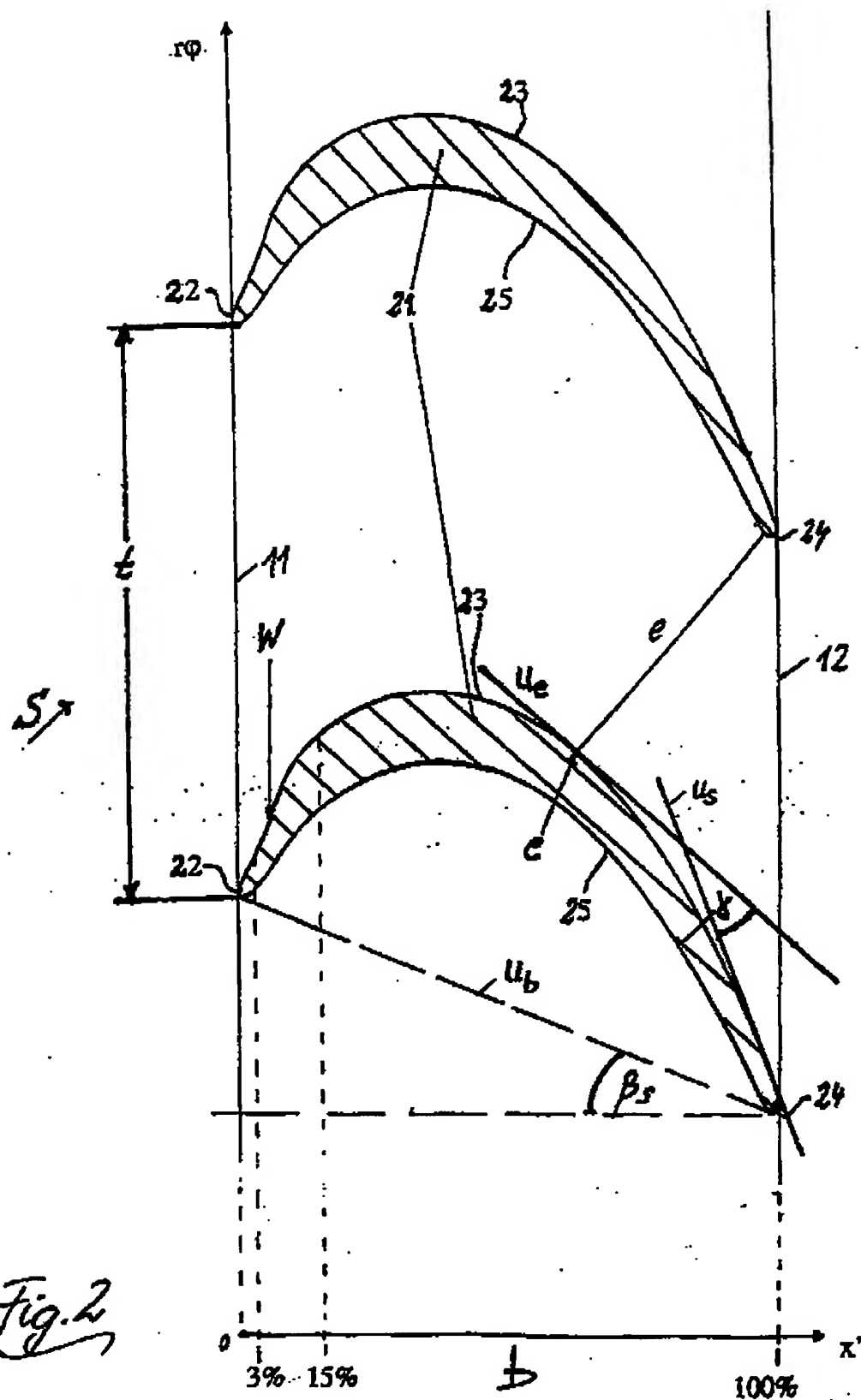
2. Axialturbine nach Anspruch 1 mit einem derart gestalteten Schaufelprofilschnitt (21), daß für alle Quasi-Stromflächen (QS) unterhalb von 55% Schaufelhöhe (h_{sv} bzw. h_{sh}) stromab der Engstelle (e) zwischen einander benachbarten Schaufelprofilschnitten (21) die saugseitige Profilablenkung γ größer als 27° ist, wobei die Profilablenkung γ stromab der Engstelle (e) definiert ist als der maximale Winkel γ zwischen der Tangente (u_s) an der Position der Engstelle (e) auf der Saugseite (23) und einer beliebigen Tangente (u_g) an das Schaufelprofil auf der Saugseite (23) zwischen der Position der Engstelle (e) und dem Übergangspunkt der Saugseite (23) in den Hinterkanten-Teilkreis (24) des Schaufelprofilschnittes (21).

3. Axialturbine nach Anspruch 1 oder 2 mit einem derart gestalteten Schaufelprofilschnitt (21), daß im Profilverlauf von dessen Saugseite (23) zwischen 3% und 15% axialer Sehnenlänge b ein Wendepunkt (W) vorliegt, wobei 0% axiale Sehnenlänge b die Schaufelvorderkante (11) und 100% axiale Sehnenlänge b die Schaufelhinterkante (12) bezeichnet.

EP 0 937 862 A2



EP 0 937 862 A2



**This Page is Inserted by IFW Indexing and Scanning
Operations and is not part of the Official Record**

BEST AVAILABLE IMAGES

Defective images within this document are accurate representations of the original documents submitted by the applicant.

Defects in the images include but are not limited to the items checked:

- ☐ BLACK BORDERS
- ☐ IMAGE CUT OFF AT TOP, BOTTOM OR SIDES
- ☐ FADED TEXT OR DRAWING
- ☐ BLURRED OR ILLEGIBLE TEXT OR DRAWING
- ☐ SKEWED/SLANTED IMAGES
- ☐ COLOR OR BLACK AND WHITE PHOTOGRAPHS
- ☐ GRAY SCALE DOCUMENTS
- ☒ LINES OR MARKS ON ORIGINAL DOCUMENT
- ☐ REFERENCE(S) OR EXHIBIT(S) SUBMITTED ARE POOR QUALITY
- ☐ OTHER: _____

IMAGES ARE BEST AVAILABLE COPY.

As rescanning these documents will not correct the image problems checked, please do not report these problems to the IFW Image Problem Mailbox.